Modelowanie i Wizualizowanie 3W grafiki. Krzywe i płaty Béziera

Aleksander Denisiuk
Uniwersytet Warmińsko-Mazurski
Olsztyn, ul. Słoneczna 54
denisjuk@matman.uwm.edu.pl

Krzywe i płaty Béziera

Krzywe Béziera
Interpolacja Krzywymi Béziera
Płaty Béziera

Najnowsza wersja tego dokumentu dostępna jest pod adresem

http://wmii.uwm.edu.pl/~denisjuk/uwm

Krzywe Béziera
- Splajny
- Krzywe Béziera
- Algorytm de Casteljau
- Krzywe Béziera sklejane
- Krzywe Béziera dowolnego stopnia

Interpolacja Krzywymi Béziera

Płaty Béziera

Krzywe Béziera

Krzywe Béziera
- Splajny
- Krzywe Béziera
- Algorytm de Casteljau
- Krzywe Béziera sklejane
- Krzywe Béziera dowolnego stopnia

Interpolacja Krzywymi Béziera

Płaty Béziera

Splajny

- Krzywe Béziera
  - Pierre Bézier — Renault: 1968, 1974
  - Paul de Casteljau — Citroën: 1959, 1963
- B-splajny (Isaac Jacob Schoenberg 1946)

Krzywe Béziera trzeciego stopnia

Krzywe Béziera
- Splajny
- Krzywe Béziera
- Algorytm de Casteljau
- Krzywe Béziera sklejane
- Krzywe Béziera dowolnego stopnia

Interpolacja Krzywymi Béziera

Płaty Béziera

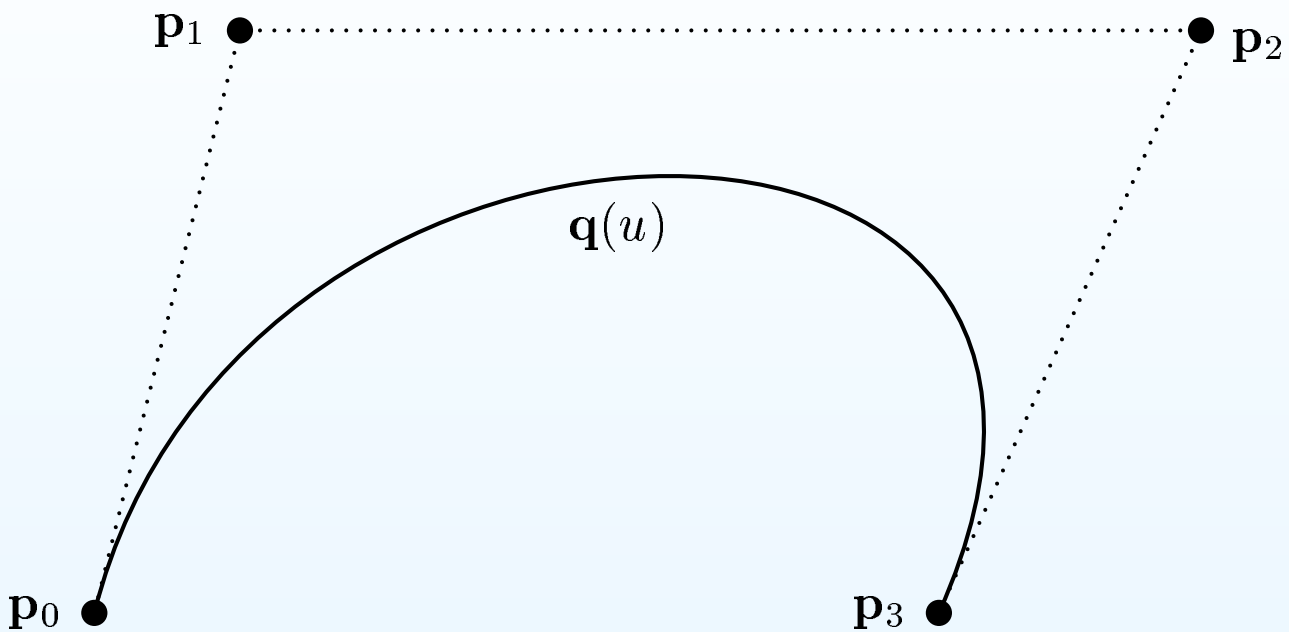

Krzywe Béziera trzeciego stopnia

Krzywe Béziera
- Splajny
- Krzywe Béziera
- Algorytm de Casteljau
- Krzywe Béziera sklejane
- Krzywe Béziera dowolnego stopnia

Interpolacja Krzywymi Béziera

Płaty Béziera

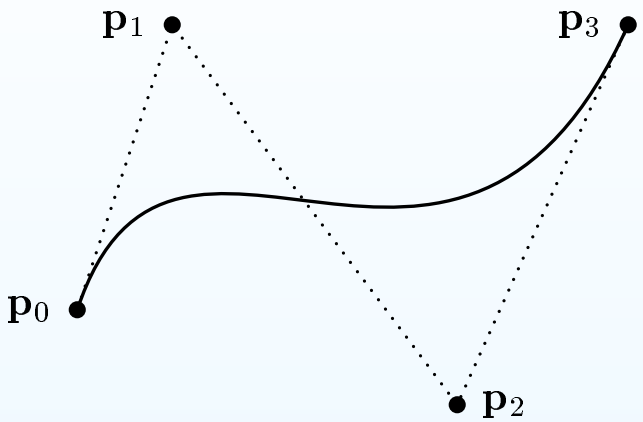

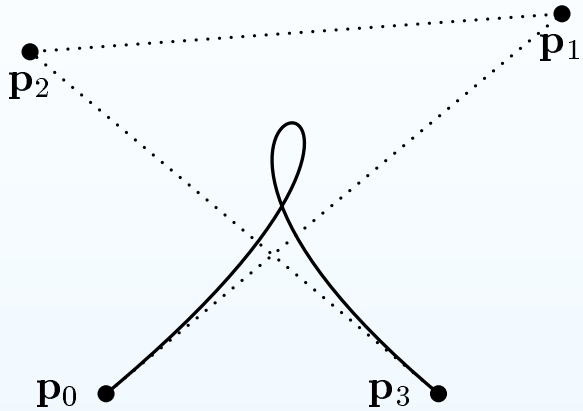

Krzywe Béziera trzeciego stopnia

Krzywe Béziera
- Splajny
- Krzywe Béziera
- Algorytm de Casteljau
- Krzywe Béziera sklejane
- Krzywe Béziera dowolnego stopnia

Interpolacja Krzywymi Béziera

Płaty Béziera

- $q(u) = B_0(u)p_0 + B_1(u)p_1 + B_2(u)p_2 + B_3(u)p_3$, gdzie
  - $B_i(u) = \binom{3}{i}u^i(1-u)^{3-i}$ — wielomiany Bernsteina,
  - $\binom{n}{m} = C_n^m = \frac{n!}{m!(n-m)!}$ — symbol Newtona
  - $B_0(u) = (1-u)^3, \quad B_1(u) = 3u(1-u)^2$
  - $B_2(u) = 3u^2(1-u), \quad B_3(u) = u^3$
  - $\sum_{i=0}^{3} B_i(u) = \sum_{i=0}^{3} \binom{3}{i}u^i(a-u)^{3-i} = \left(u + (1-u)\right)^3 = 1$

Wielomiany Bernsteina (stopnia 3)

Krzywe Béziera
- Splajny
- Krzywe Béziera
- Algorytm de Casteljau
- Krzywe Béziera sklejane
- Krzywe Béziera dowolnego stopnia

Interpolacja Krzywymi Béziera

Płaty Béziera

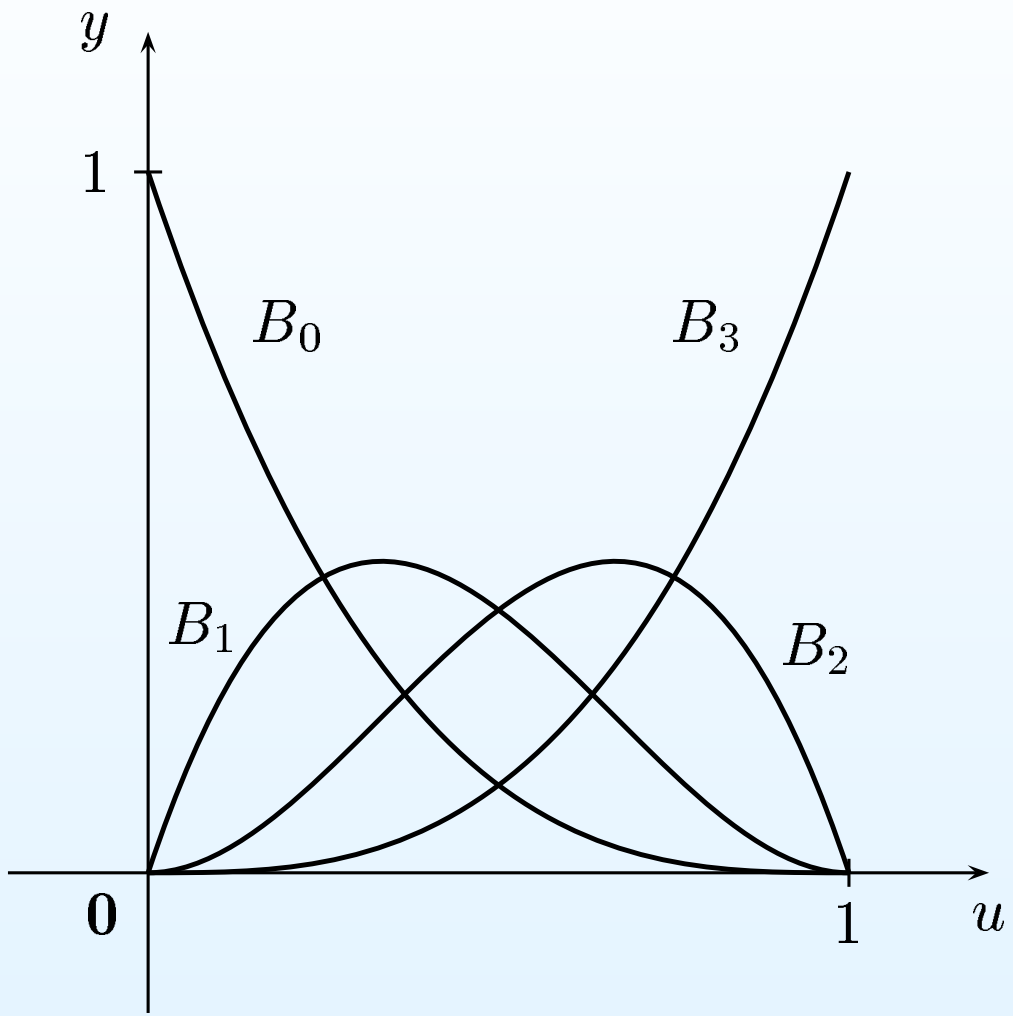

Wielomiany Bernsteina (stopnia 3)

Krzywe Béziera
- Splajny
- Krzywe Béziera
- Algorytm de Casteljau
- Krzywe Béziera sklejane
- Krzywe Béziera dowolnego stopnia

Interpolacja Krzywymi Béziera

Płaty Béziera

$$B_0'(0) = -3, \quad B_1'(0) = 3, \quad B_2'(0) = 0, \quad B_3'(0) = 0$$
$$B_0'(1) = 0, \quad B_1'(1) = 0, \quad B_2'(1) = -3, \quad B_3'(1) = 3$$

$$q'(0) = 3(p_1 - p_0),$$
$$q'(1) = 3(p_3 - p_2)$$

Algorytm de Casteljau

Krzywe Béziera
- Splajny
- Krzywe Béziera
- Algorytm de Casteljau
- Krzywe Béziera sklejane
- Krzywe Béziera dowolnego stopnia

Interpolacja Krzywymi Béziera

Płaty Béziera

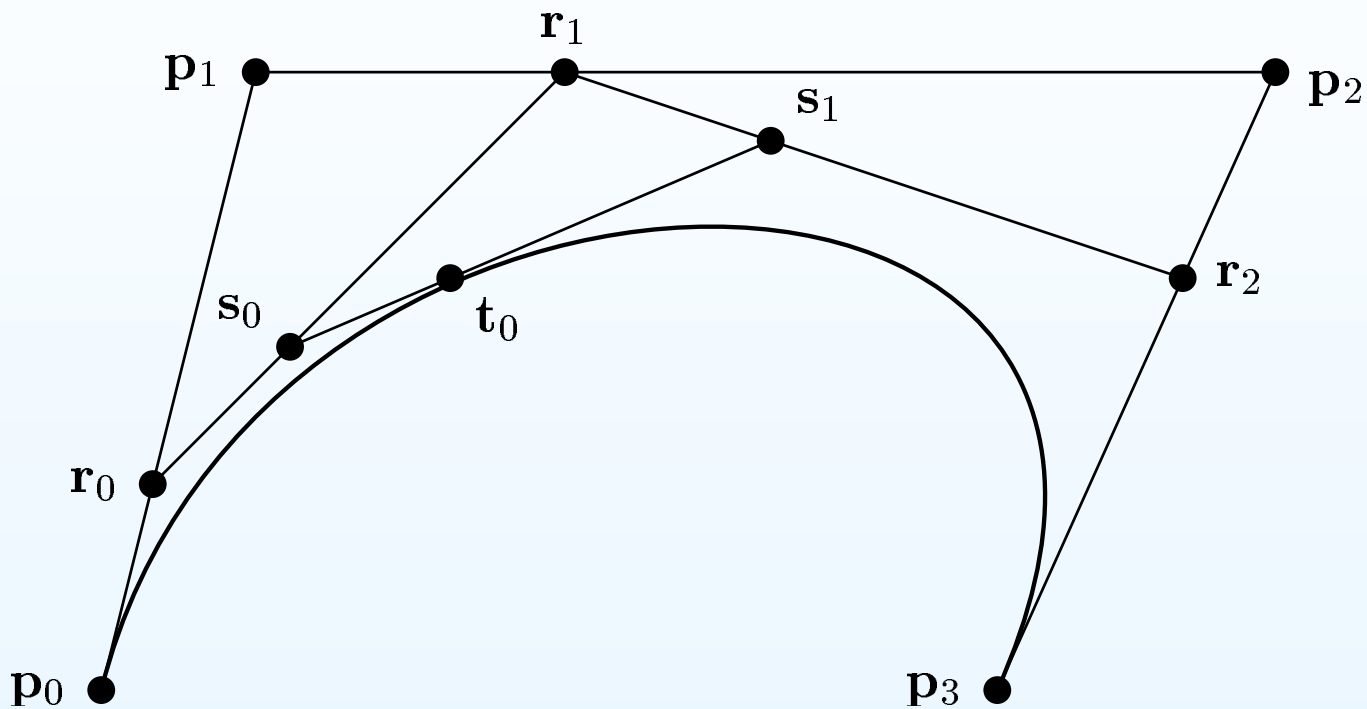

$$r_i = (1-u)\cdot p_i + u\cdot p_{i+1},$$
$$s_i = (1-u)\cdot r_i + u\cdot p_{i+1},$$
$$t_0 = (1-u)\cdot s_0 + us_1$$

Algorytm de Casteljau ($u = \frac{1}{2}$)

Krzywe Béziera
- Splajny
- Krzywe Béziera
- Algorytm de Casteljau
- Krzywe Béziera sklejane
- Krzywe Béziera dowolnego stopnia

Interpolacja Krzywymi Béziera

Płaty Béziera

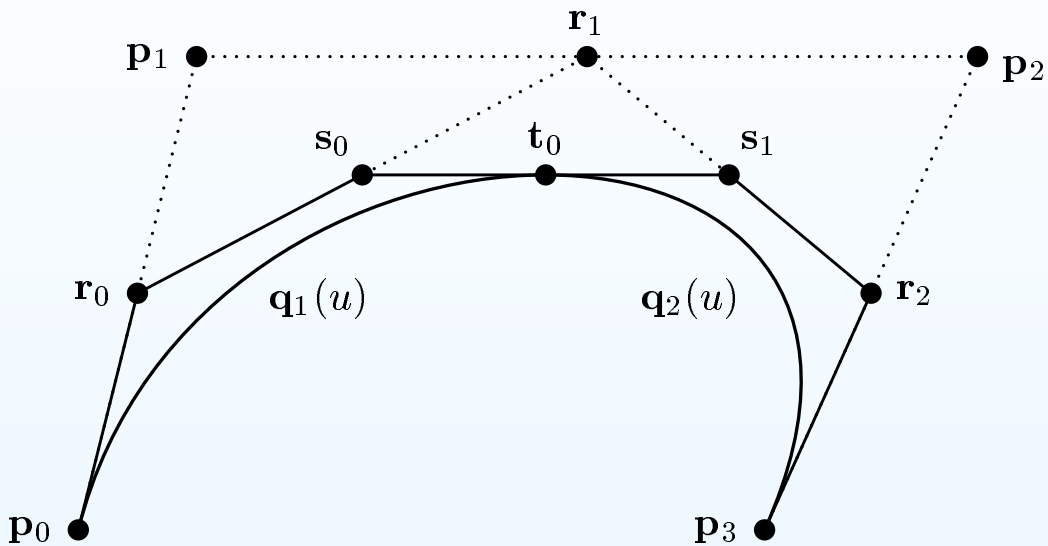

$$r_i = \frac{p_i + p_{i+1}}{2}, \quad s_i = \frac{r_i + r_{i+1}}{2}, \quad t_0 = \frac{s_0 + s_1}{2},$$

$$q(1/2) = t_0 = \frac{1}{8}p_0 + \frac{3}{8}p_1 + \frac{3}{8}p_2 + \frac{1}{8}p_3$$

Krzywe Béziera
- Splajny
- Krzywe Béziera
- Algorytm de Casteljau
- Krzywe Béziera sklejane
- Krzywe Béziera dowolnego stopnia

Interpolacja Krzywymi Béziera

Płaty Béziera

Podział krzywej

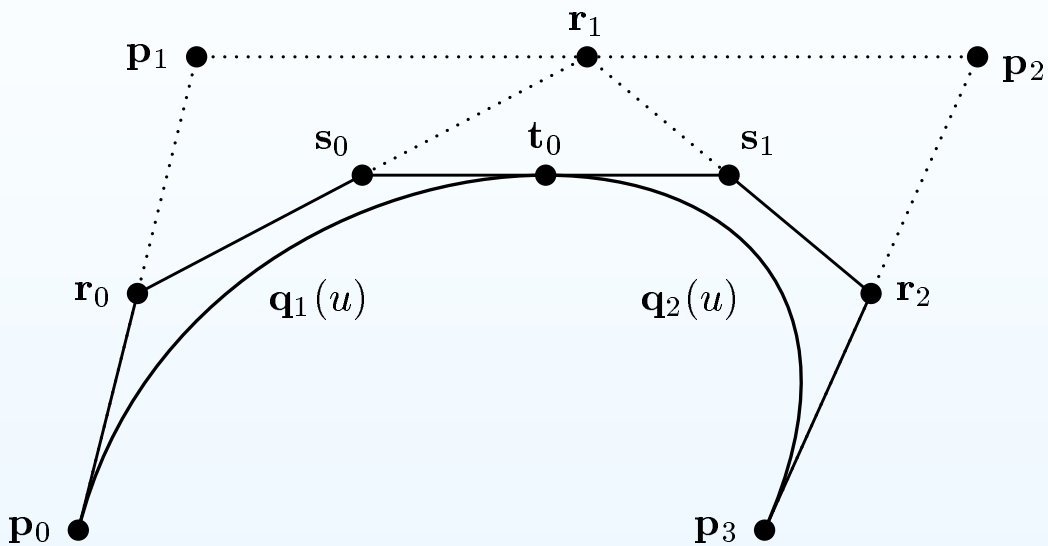

Twierdzenie 1. *Niech $q(u)$ będzie krzywą Béziera o punktach kontrolnych p_0, p_1, p_2, p_3. Wtedy $q_1(u) = q(u/2)$ będzie Krzywą Béziera o punktach kontrolnych p_0, r_0, s_0, t_0,*
$q_2(u) = q((u+1)/2)$ będzie krzywą Béziera o punktach t_0, s_1, r_2, p_3.

Zagęszczanie (recursive subdivision)

Krzywe Béziera
- Splajny
- Krzywe Béziera
- Algorytm de Casteljau
- Krzywe Béziera sklejane
- Krzywe Béziera dowolnego stopnia

Interpolacja Krzywymi Béziera

Płaty Béziera

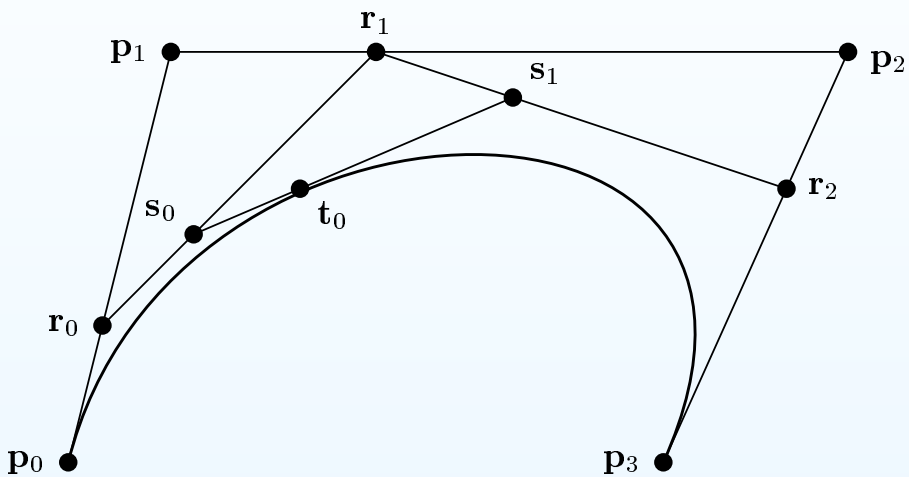

Twierdzenie 2. *Niech $q(u)$ będzie krzywą Béziera o punktach kontrolnych p_0, p_1, p_2, p_3. Wtedy $q_1(u) = q(u_0 u)$ będzie Krzywą Béziera o punktach kontrolnych p_0, r_0, s_0, t_0,*
$q_2(u) = q(u_0 + (1 - u_0)u)$ będzie krzywą Béziera o punktach t_0, s_1, r_2, p_3.

Renderowanie krzywych Béziera w postaci odcinków

Krzywe Béziera
- Splajny
- Krzywe Béziera
- Algorytm de Casteljau
- Krzywe Béziera sklejane
- Krzywe Béziera dowolnego stopnia

Interpolacja Krzywymi Béziera

Płaty Béziera

- $\|q(\frac{1}{2}) - \frac{1}{2}(p_0 + p_3)\| < \varepsilon,$
- $\|p_0 - p_1 - p_2 + p_3\|^2 < (8\varepsilon/3)^2,$
- $p_1, p_2 \approx\in \overline{p_0 p_3}$

Krzywe Béziera
- Splajny
- Krzywe Béziera
- Algorytm de Casteljau
- Krzywe Béziera sklejane
- Krzywe Béziera dowolnego stopnia

Interpolacja Krzywymi Béziera

Płaty Béziera

Właściwość otoczki wypukłej

- Krzywa Béziera zawiera się w otoczce wypukłej swoich punktów kontrolnych

Krzywe Béziera sklejane

Krzywe Béziera
- Splajny
- Krzywe Béziera
- Algorytm de Casteljau
- Krzywe Béziera sklejane
- Krzywe Béziera dowolnego stopnia

Interpolacja Krzywymi Béziera

Płaty Béziera

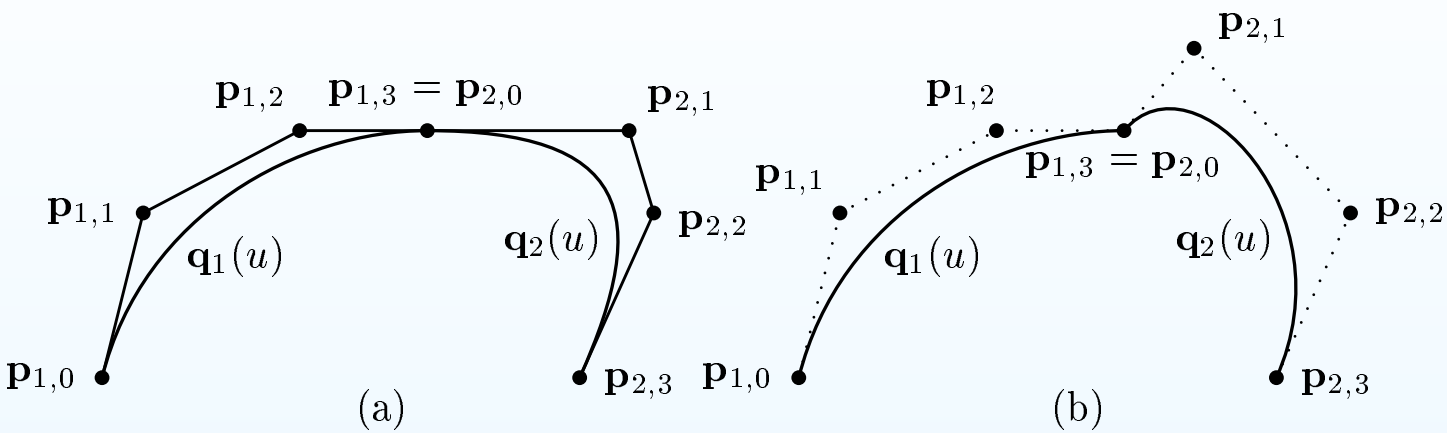

$$q_1'(1) = q_2'(0) \Rightarrow p_{1,3} - p_{1,2} = p_{2,1} - p_{2,0}$$

Krzywe Béziera dowolnego stopnia

Krzywe Béziera
- Splajny
- Krzywe Béziera
- Algorytm de Casteljau
- Krzywe Béziera sklejane
- Krzywe Béziera dowolnego stopnia

Interpolacja Krzywymi Béziera

Płaty Béziera

$$q(u) = \sum_{i=0}^{k} B_i^k(u) p_i$$

$$B_i^k(u) = \binom{k}{i} u^i (1-u)^{k-i},$$

$$\sum_{i=0}^{k} B_i^k(u) = \sum_{i=0}^{k} \binom{k}{i} u^i (1-u)^{k-i} = \left(u + (1-u)\right)^k = 1,$$

$$q'(0) = k(p_1 - p_0),$$

$$q'(1) = k(p_k - p_{k-1}).$$

Krzywe Béziera dowolnego stopnia

Krzywe Béziera
- Splajny
- Krzywe Béziera
- Algorytm de Casteljau
- Krzywe Béziera sklejane
- Krzywe Béziera dowolnego stopnia

Interpolacja Krzywymi Béziera

Płaty Béziera

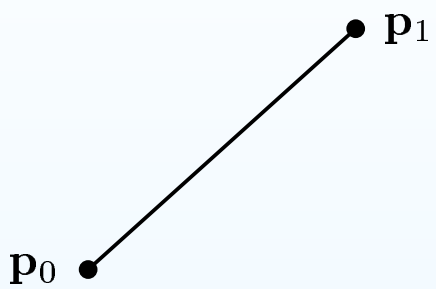

(a) Degree one

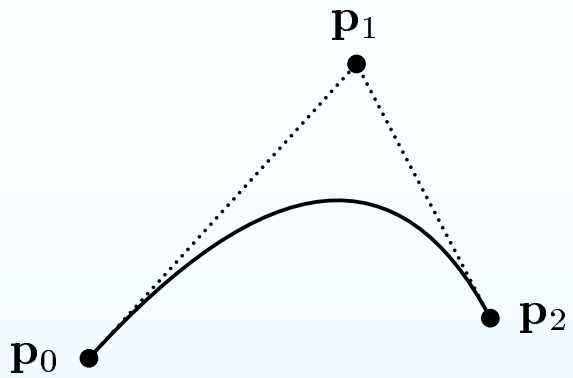

(b) Degree two

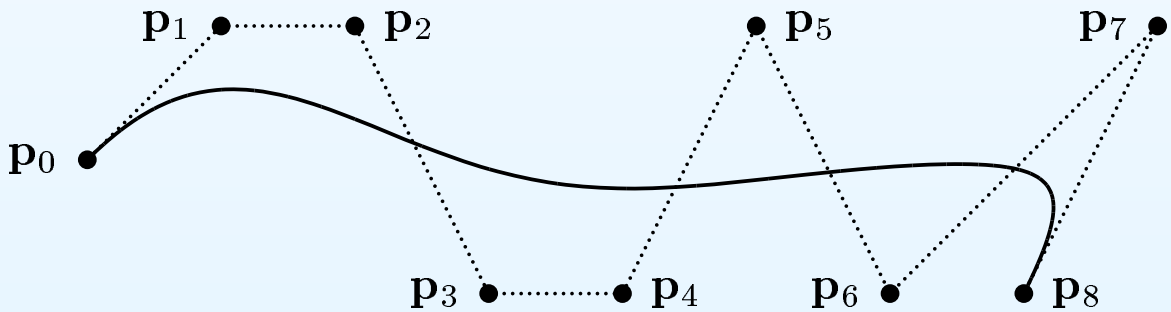

(c) Degree eight

Podwyższenie stopnia

Krzywe Béziera
- Splajny
- Krzywe Béziera
- Algorytm de Casteljau
- Krzywe Béziera sklejane
- Krzywe Béziera dowolnego stopnia

Interpolacja Krzywymi Béziera

Płaty Béziera

$$\hat{P}_0 = P_0 \quad \hat{P}_{k+1} = P_k$$

$$\hat{P}_i = \frac{i}{k+1} P_{i-1} + \frac{k-i+1}{k+1} P_i$$

Krzywe Béziera
Interpolacja Krzywymi Béziera
- Bessel-Overhauser
- Splajn TBC
Płaty Béziera

Interpolacja Krzywymi Béziera

Krzywe Béziera
Interpolacja Krzywymi Béziera
- Bessel-Overhauser
- Splajn TBC
Płaty Béziera

Zagadnienie interpolacji

- Dane są punkty $p_0, \ldots, p_m$ i węzły $u_0, \ldots, u_m$.
- Określić parametryzowaną krzywą $q(u)$ tak, żeby $q(u_i) = p_i$ dla $i = 0, \ldots, m$.
- Krzywa odcinkowo-wielomianowa (trzeciego stopnia).
- Sklejanie krzywych Béziera.

Krzywe Béziera
Interpolacja Krzywymi Béziera
- Bessel-Overhauser
- Splajn TBC
Płaty Béziera

Splajny Catmulla-Roma

- Dane są punkty $P_0, \ldots, P_m$ i węzły $u_i = i$ dla $i = 0, \ldots, m$.
- Określić parametryzowaną krzywą $q(u)$ tak, żeby $q(i) = P_i$ dla $i = 1, \ldots, m-1$.
- Krzywa Catmull-Rom składa się z $m-2$ krzywych Béziera.
- Punkty kontrolne wybiera się tak, żeby krzywa była klasy C^1.

Splajny Catmulla-Roma

Krzywe Béziera

Interpolacja Krzywymi Béziera

- Bessel-Overhauser
- Splajn TBC

Płaty Béziera

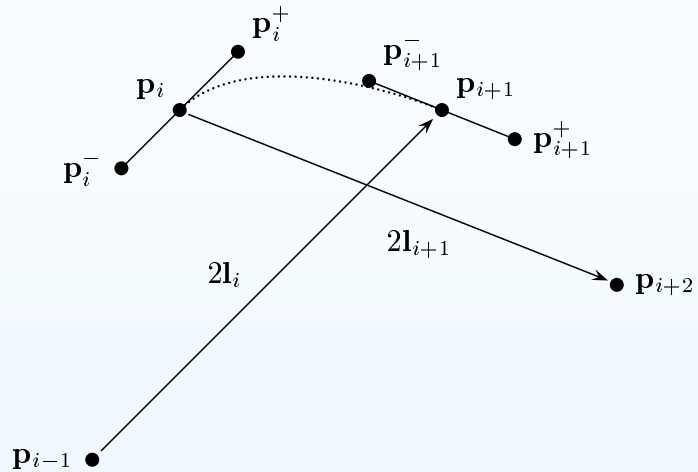

Figure VII.22: Defining the Catmull-Rom spline segment from the point $\mathbf{p}_i$ to the point $\mathbf{p}_{i+1}$. The points $\mathbf{p}_i^-$, $\mathbf{p}_i$, and $\mathbf{p}_i^+$ are collinear and parallel to $\mathbf{p}_{i+1} - \mathbf{p}_{i-1}$. The points $\mathbf{p}_i$, $\mathbf{p}_i^+$, $\mathbf{p}_{i+1}^-$, and $\mathbf{p}_{i+1}$ form the control points of a degree three Bézier curve, which is shown as a dotted curve.

$$l_i = \frac{1}{2}(p_{i+1} - p_{i-1}), \quad p_i^{\pm} = p_i \pm \frac{1}{3} l_i$$

Syngularność splajnu Catmulla-Roma

Krzywe Béziera
Interpolacja Krzywymi Béziera
- Bessel-Overhauser
- Splajn TBC

Płaty Béziera

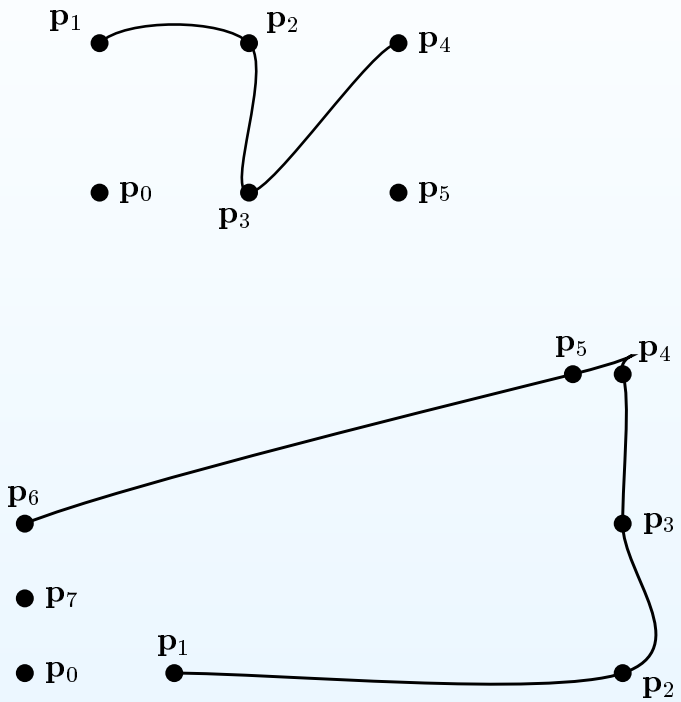

Figure VII.23: Two examples of Catmull-Rom splines with uniformly spaced knots.

Krzywe Béziera
Interpolacja Krzywymi Béziera
- Bessel-Overhauser
- Splajn TBC
Płaty Béziera

Splajny Bessela-Overhausera

- Parameter $u \approx$ długości cięciwy.
- $u_{i+1} - u_i = \|p_{i+1} - p_i\|$.

Metoda Bessela-Overhausera

- $v_{i+\frac{1}{2}} = \frac{p_{i+1}-p_i}{u_{i+1}-u_i}, i = 0, \ldots, m-1.$
- $v_i = \frac{(u_{i+1}-u_i)v_{i-\frac{1}{2}}+(u_i-u_{i-1})v_{i+\frac{1}{2}}}{u_{i+1}-u_{i-1}}, i = 1, \ldots, m-1.$
- $p_i^- = p_i - \frac{1}{3}(u_i - u_{i-1})v_i, i = 1, \ldots, m-1.$
- $p_i^+ = p_i + \frac{1}{3}(u_{i+1} - u_i)v_i, i = 1, \ldots, m-1.$
- Krzywa Béziera o punktach kontrolnych $p_i, p_i^+, p_{i+1}^-, p_{i+1}$, $i = 1, \ldots, m-1.$

Splajn Bessela-Overhausera

Krzywe Béziera
Interpolacja Krzywymi Béziera
- Bessel-Overhauser
- Splajn TBC

Płaty Béziera

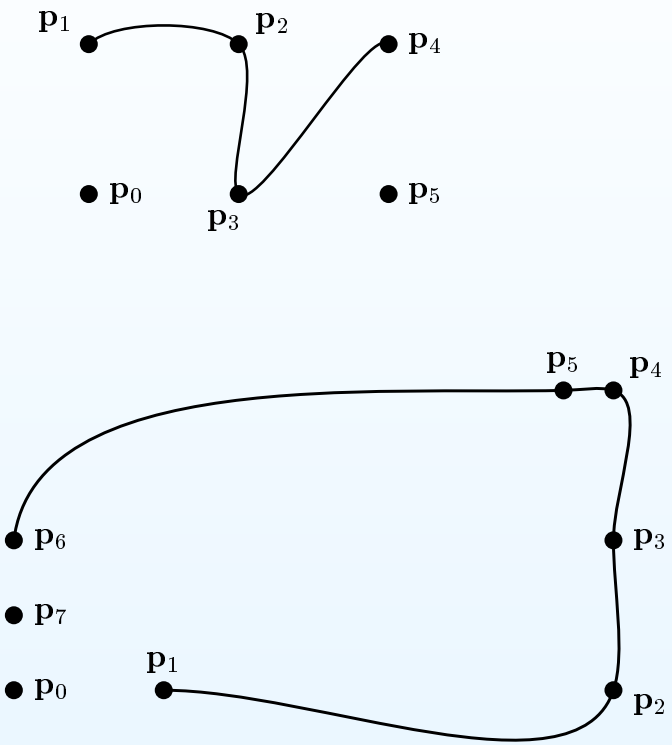

Figure VII.24: Two examples of Overhauser spline curves. The knot positions were set by chord-length parameterization. These are defined from exactly the same control points as the Catmull-Rom curves in figure VII.23.

Krzywe Béziera
Interpolacja Krzywymi Béziera
- Bessel-Overhauser
- Splajn TBC
Płaty Béziera

Przykład

- $p_0 = p_1 = (0,0), p_2 = (10,0), p_3 = p_4 = (10,1),$
- $u_0 = 0, u_1 = 1, u_2 = 2, u_3 = 2{,}1, u_4 = 3{,}1.$

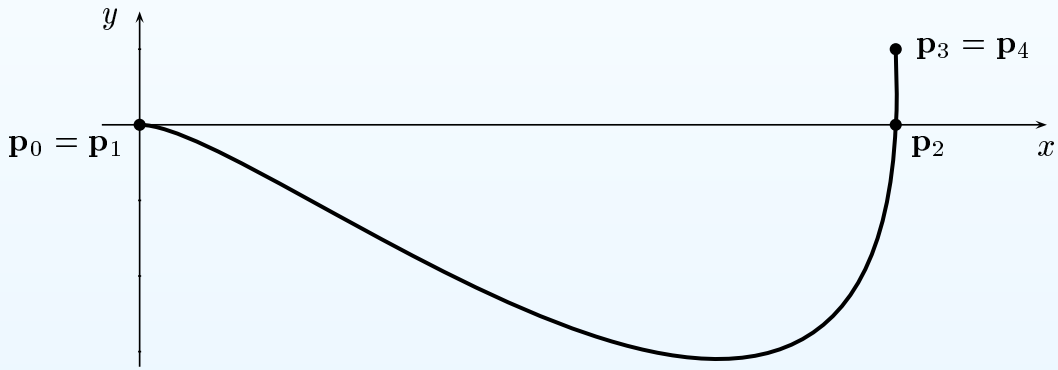

Figure VII.25: The Overhauser spline which is the solution to exercise VII.24.

Splajn Bessela-Overhausera

Krzywe Béziera
Interpolacja Krzywymi Béziera
- Bessel-Overhauser
- Splajn TBC

Płaty Béziera

Twierdzenie 3. *Splajn Bessela-Overhausera jest krzywą klasy* C^1.

Twierdzenie 4. *Niech dane będą punkty* $p_0, \ldots, p_m$ *i węzły* $u_0, \ldots, u_m$. *Niech* $f_i(u)$ *będzie wielomianem kwadratowym, taklim że* $f_i(u_{i-1}) = p_{i-1}$, $f_i(u_i) = p_i$, $f_i(u_{i+1}) = p_{i+1}$ *dla* $i = 1, \ldots, m-1$.
Wtedy

$$q_i(u) = \frac{(u_{i+1} - u) f_i(u) + (u - u_i) f_{i+1}(u)}{u_{i+1} - u_i}$$

zgadza się ze splajnem Bessela-Overhausera na odcinku $[u_i, u_{i+1}]$.

Krzywe Béziera
Interpolacja Krzywymi Béziera
- Bessel-Overhauser
- Splajn TBC
Płaty Béziera

Splajn TBC

- Tension-Bias-Continuity, (Napięcie-Skos-Gładkość).
- Wpływ na punkty kontrolne $p_i^{\pm}$.
- Pochodne w końcach przedziału:
  $Dq_i^- = \lim_{u \to u_i -} \frac{q(u_i)-q(u)}{u_i-u} = 3(p_i - p_i^-)$,
  $Dq_i^+ = \lim_{u \to u_i +} \frac{q(u)-q(u_i)}{u-u_i} = 3(p_i^+ - p_i)$.
- $p_i^+ = p_i + \frac{1}{3} Dq_i^+$, $p_i^- = p_i - \frac{1}{3} Dq_i^-$.
- Catmull-Rom: $Dq_i^- = Dq_i^+ = \frac{1}{2} v_{i-\frac{1}{2}} + \frac{1}{2} v_{i+\frac{1}{2}}$, gdzie $v_{i-\frac{1}{2}} = p_i - p_{i-1}$.

Napięcie t

- $t < 1$, (Catmull-Rom $t = 0$).
- $Dq_i^- = Dq_i^+ = (1-t)\left(\frac{1}{2}v_{i-\frac{1}{2}} + \frac{1}{2}v_{i+\frac{1}{2}}\right)$, gdzie $v_{i-\frac{1}{2}} = p_i - p_{i-1}$.

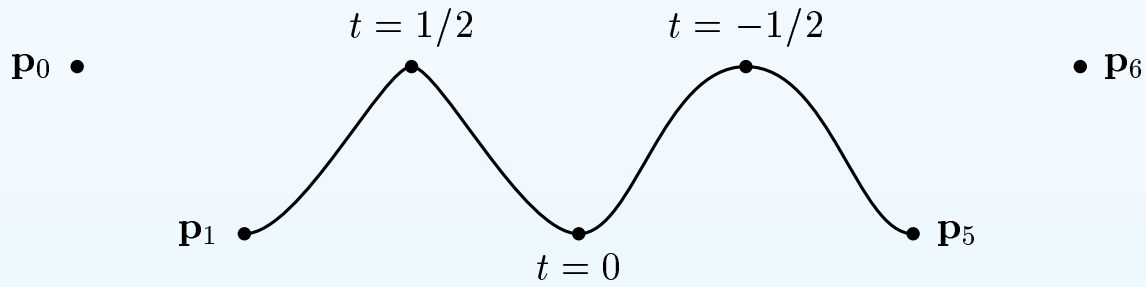

Figure VII.26: The effects of the tension parameter.

Gładkość c

- Dla krzywej klasy C^1 parametr $c = 0$.
- Dla $-1 \leqslant c < 0$ pochodnia w u_i nie jest ciągła.
- $Dq_i^- = \frac{1-c}{2} v_{i-\frac{1}{2}} + \frac{1+c}{2} v_{i+\frac{1}{2}}$, $Dq_i^+ = \frac{1+c}{2} v_{i-\frac{1}{2}} + \frac{1-c}{2} v_{i+\frac{1}{2}}$, gdzie $v_{i-\frac{1}{2}} = p_i - p_{i-1}$.

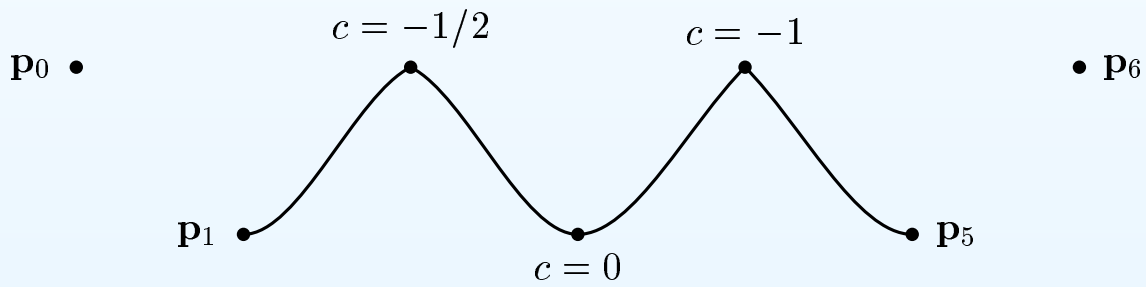

Figure VII.27: The effects of the continuity parameter.

Skos b

- $Dq_i^- = Dq_i^+ = \frac{1+b}{2} v_{i-\frac{1}{2}} + \frac{1-b}{2} v_{i+\frac{1}{2}}$,
- gdzie $v_{i-\frac{1}{2}} = p_i - p_{i-1}$.

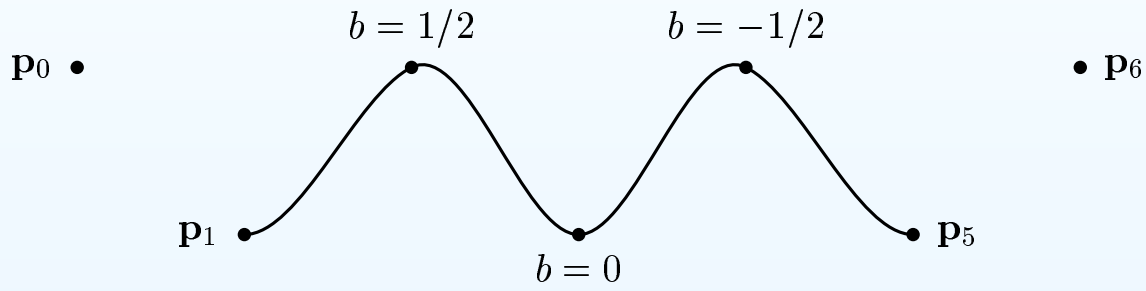

Figure VII.28: The effects of the bias parameter.

TCB

- $Dq_i^- = \frac{(1-t)(1-c)(1+b)}{2} v_{i-\frac{1}{2}} + \frac{(1-t)(1+c)(1-b)}{2} v_{i+\frac{1}{2}},$
- $Dq_i^+ = \frac{(1-t)(1+c)(1+b)}{2} v_{i-\frac{1}{2}} + \frac{(1-t)(1-c)(1-b)}{2} v_{i+\frac{1}{2}},$
- gdzie $v_{i-\frac{1}{2}} = p_i - p_{i-1}$.

Krzywe Béziera
Interpolacja Krzywymi Béziera
Płaty Béziera
- Powierzchnie Béziera
- Wymierne krzywe Béziera
- Bryła obrotowa

Płaty Béziera

Powierzchnie Béziera

Krzywe Béziera
Interpolacja Krzywymi Béziera
Płaty Béziera
- Powierzchnie Béziera
- Wymierne krzywe Béziera
- Bryła obrotowa

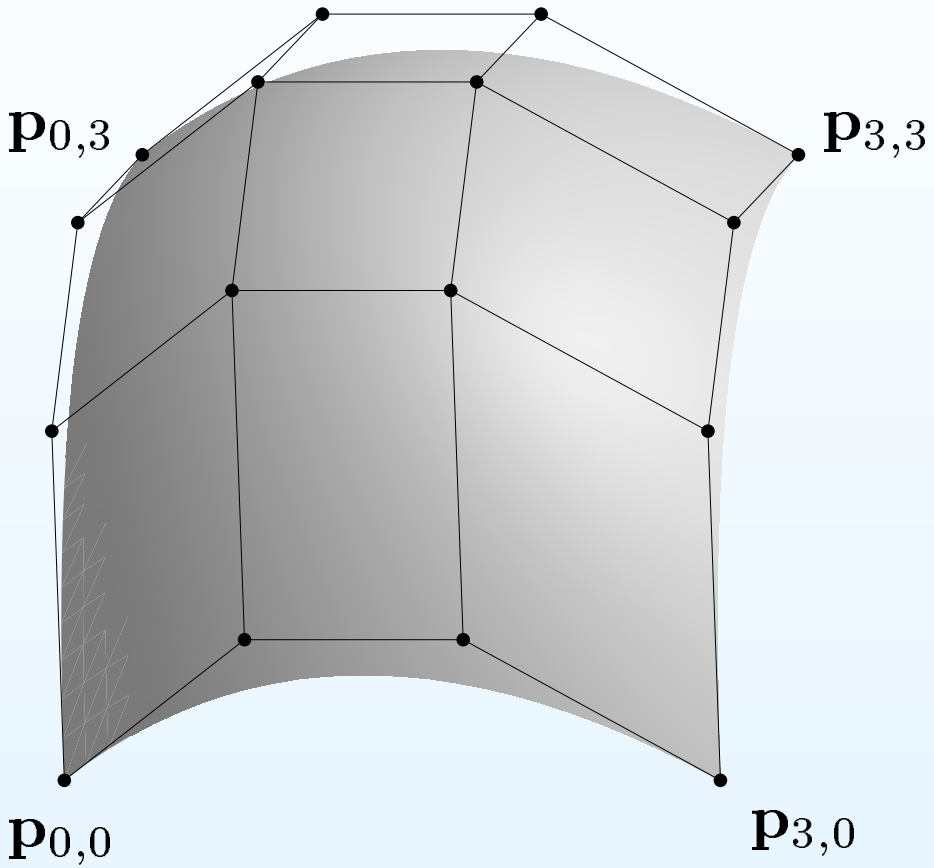

Powierzchnie Béziera trzeciego stopnia

Krzywe Béziera
Interpolacja Krzywymi Béziera
Płaty Béziera
- Powierzchnie Béziera
- Wymierne krzywe Béziera
- Bryła obrotowa

$$q(u,v) = \sum_{i=0}^{3}\sum_{j=0}^{3} B_i(u)B_j(v)p_{i,j} =$$

$$= \sum_{i=0}^{3}\left(B_i(u)\sum_{j=0}^{3} B_j(v)p_{i,j}\right) =$$

$$= \sum_{j=0}^{3} B_j(v)\left(\sum_{i=0}^{3} B_i(u)p_{i,j}\right),$$

$$(u,v) \in [0,1]\times[0,1]$$

Przekrój powierzchni Béziera

Krzywe Béziera
Interpolacja Krzywymi Béziera
Płaty Béziera
- Powierzchnie Béziera
- Wymierne krzywe Béziera
- Bryła obrotowa

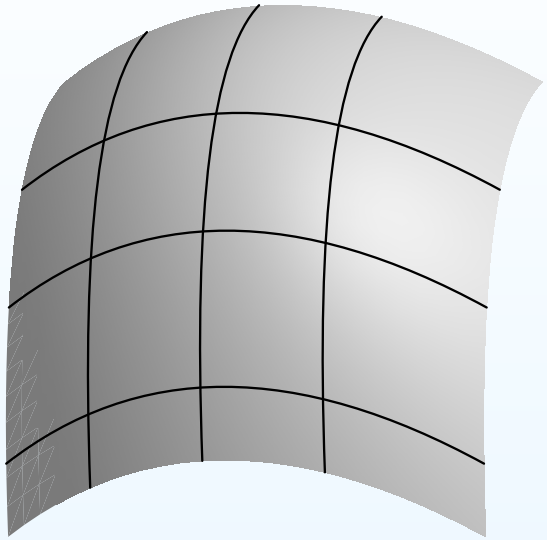

- $q(u,v) = \sum_{i=0}^{3} \left(B_i(u) \sum_{j=0}^{3} B_j(v) p_{i,j} \right)$
- $r_i = \sum_{j=0}^{3} B_j(v) p_{i,j}, \quad s_j = \sum_{i=0}^{3} B_i(u) p_{i,j}$

Graniczne linie powierzchni Béziera

Krzywe Béziera
Interpolacja Krzywymi Béziera
Płaty Béziera
- Powierzchnie Béziera
- Wymierne krzywe Béziera
- Bryła obrotowa

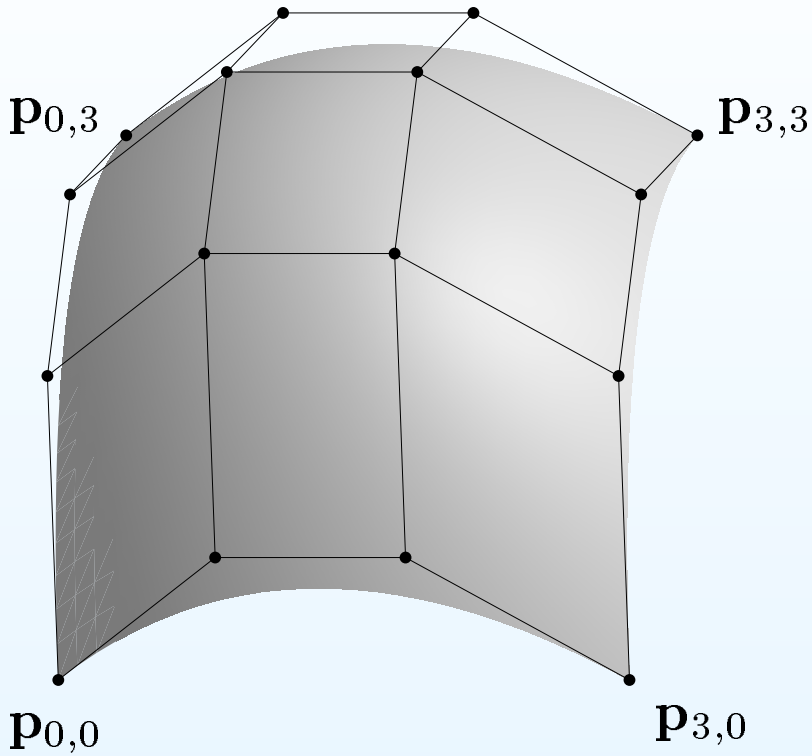

- $v = 0, \quad u \in [0, 1]$: granica „przednia”, $p_{i,0}$
- $u = 0, \quad v \in [0, 1]$: granica „lewa”, $p_{0,j}$

Pochodne cząstkowe powierzchni Béziera

Krzywe Béziera
Interpolacja Krzywymi Béziera
Płaty Béziera
- Powierzchnie Béziera
- Wymierne krzywe Béziera
- Bryła obrotowa

$$\frac{\partial q}{\partial v}(u,0) = \sum_{i=0}^{3} 3B_i(u)(p_{i,1} - p_{i,0})$$

$$\frac{\partial q}{\partial v}(u,1) = \sum_{i=0}^{3} 3B_i(u)(p_{i,3} - p_{i,2})$$

$$\frac{\partial q}{\partial u}(0,v) = \sum_{i=0}^{3} 3B_j(v)(p_{1,j} - p_{0,j})$$

$$\frac{\partial q}{\partial v}(1,v) = \sum_{i=0}^{3} 3B_j(v)(p_{3,j} - p_{3,j})$$

Sklejane powierzchnie Béziera

Krzywe Béziera

Interpolacja Krzywymi Béziera

Płaty Béziera

- Powierzchnie Béziera
- Wymierne krzywe Béziera
- Bryła obrotowa

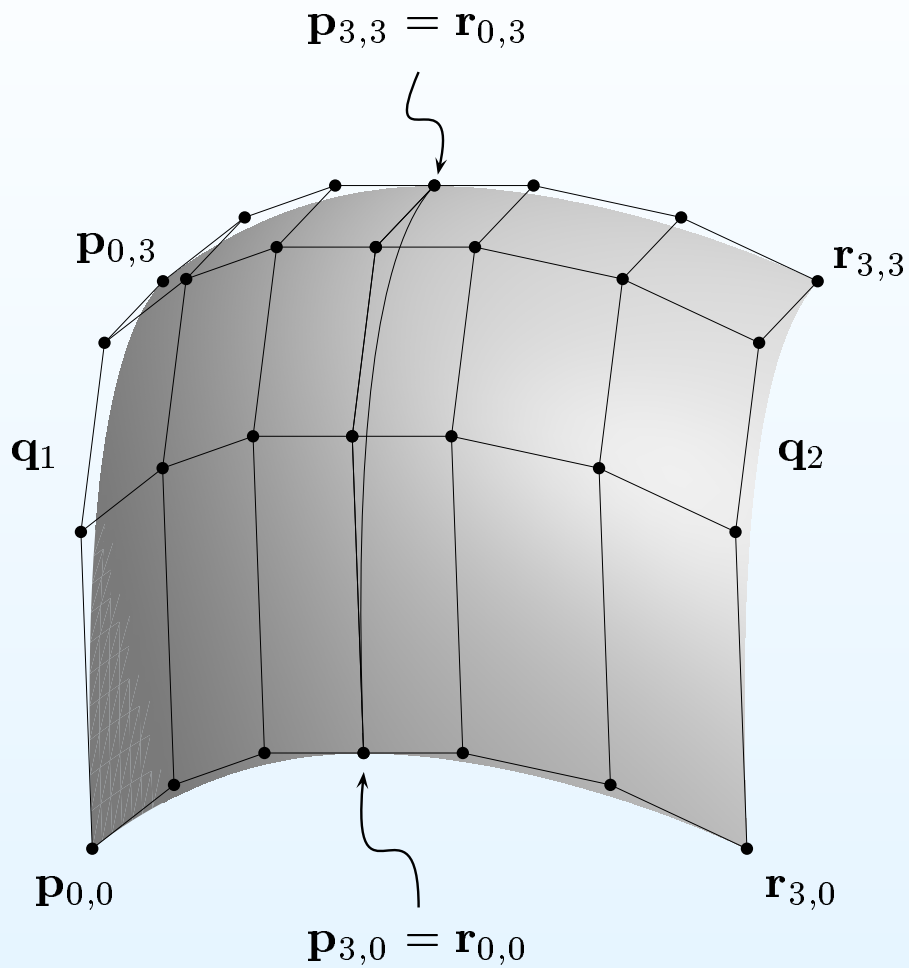

Krzywe Béziera
Interpolacja Krzywymi Béziera
Płaty Béziera
- Powierzchnie Béziera
- Wymierne krzywe Béziera
- Bryła obrotowa

Wymierne krzywe Béziera

$$p_i = (x : y : z : w),$$

$$q(u) = \sum_i B_i^k(u) p_i$$

- współrzędna w pozwala na powiększenie wagi punktu kontrolnego
- modelowanie krzywych stożkowych
- rzut perspektywiczny krzywej wymiernej jest zawsze krzywą wymierną
- punkty kontrolne mogą być umieszczone w nieskończoności

Powiększenie wagi punktu kontrolnego

$$q(u) = \sum_i B_i^k(u)(w_i p_i : w_i) \sim \sum_i \frac{w_i B_i^k(u)}{\sum_j w_j B_i^k(u)} p_i$$

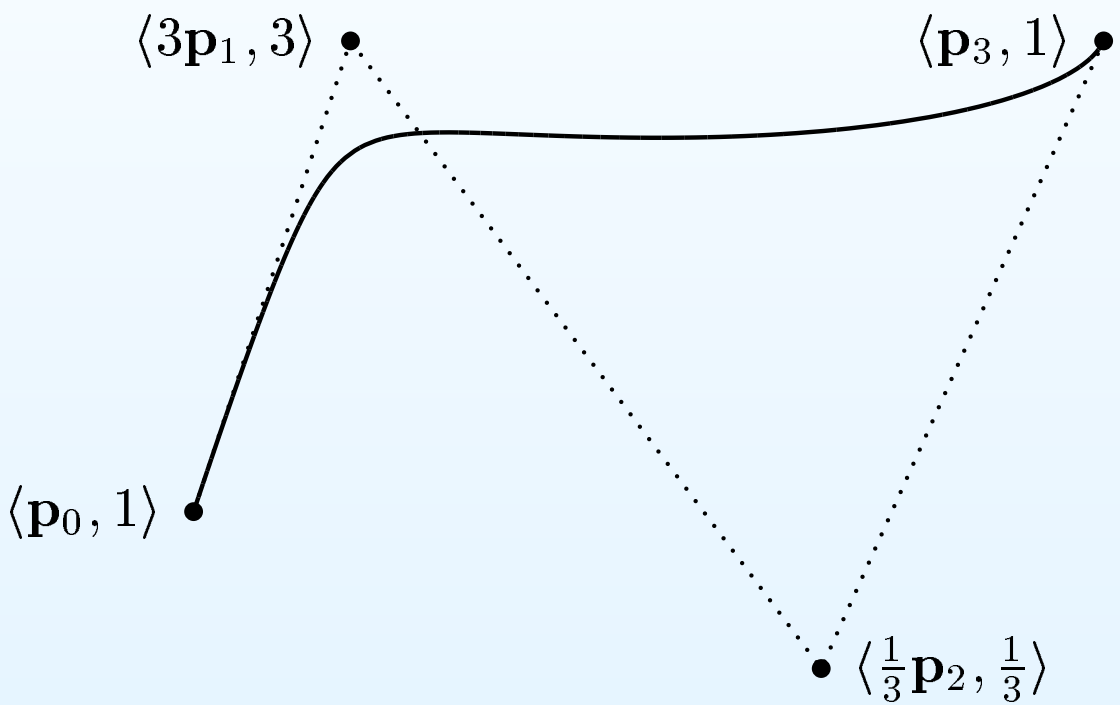

Okrąg

Krzywe Béziera
Interpolacja Krzywymi Béziera
Płaty Béziera
- Powierzchnie Béziera
- Wymierne krzywe Béziera
- Bryła obrotowa

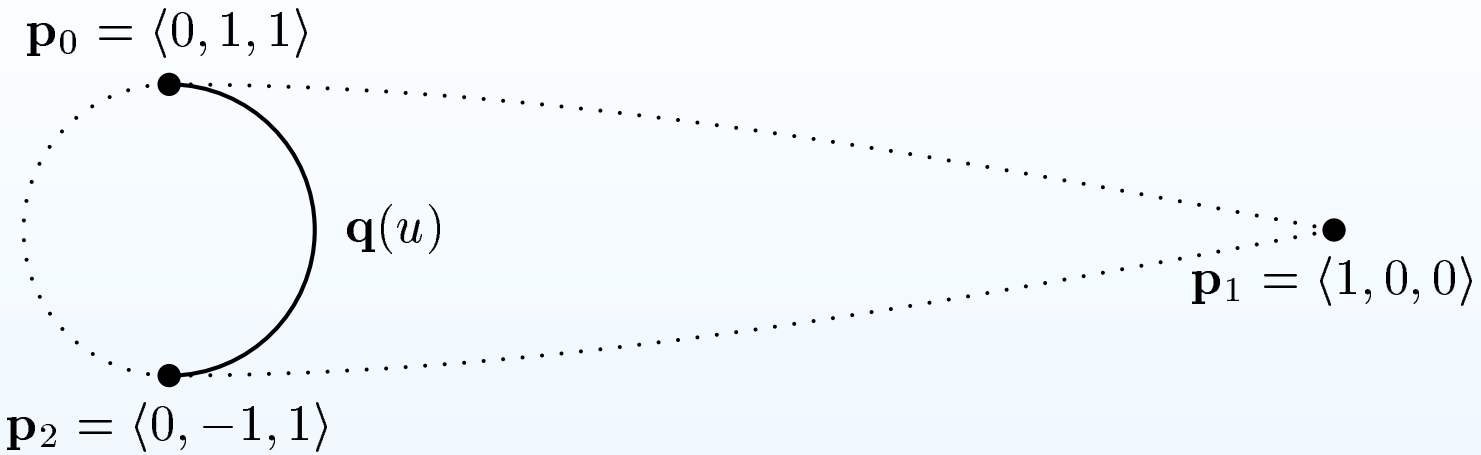

$$
\begin{aligned}
q(u) &= (1-u)^2 p_0 + 2u(1-u)p_1 + u^2 p_2 = \\
&= \left(2u(1-u) : (1-u)^2 - u^2 : (1-u)^2 + u^2\right) \sim \\
&\sim \left(\frac{2u(1-u)}{(1-u)^2 + u^2}, \frac{(1-u)^2 - u^2}{(1-u)^2 + u^2} \right)
\end{aligned}
$$

Krzywe stożkowe

Krzywe Béziera
Interpolacja Krzywymi Béziera
Płaty Béziera
- Powierzchnie Béziera
- Wymierne krzywe Béziera
- Bryła obrotowa

Twierdzenie 5. *Niech T_0 i T_2 będą stycznymi do krzywej stożkowej C w punktach p_0 i p_2, p_1 będzie punktem przecięcia T_0 i T_2. Wtedy istnieje waga $w \geqslant 0$ taka, że wymierna krzywa Béziera o punktach kontrolnych $(p_0 : 1)$, $(p_1 : w)$, $(p_2 : 1)$ generuje odcinek krzywej C pomiędzy p_0 a p_2.*

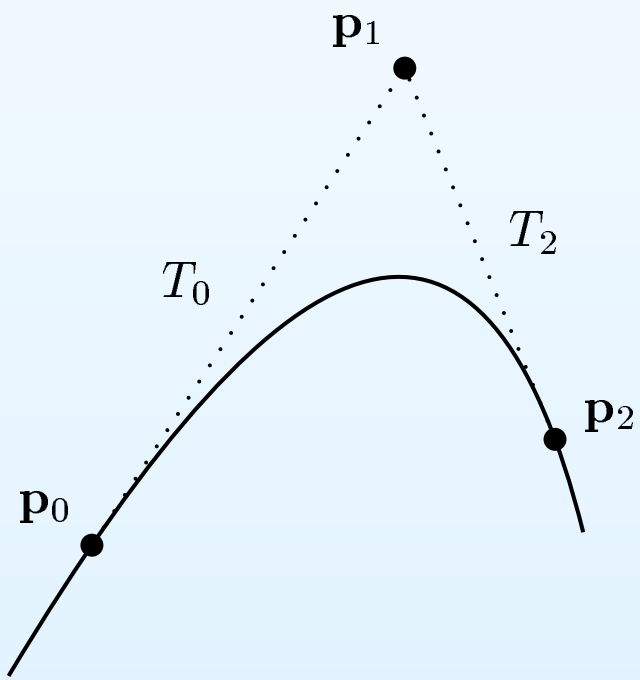

Krzywe stożkowe

Krzywe Béziera

Interpolacja Krzywymi Béziera

Płaty Béziera

- Powierzchnie Béziera
- Wymierne krzywe Béziera
- Bryła obrotowa

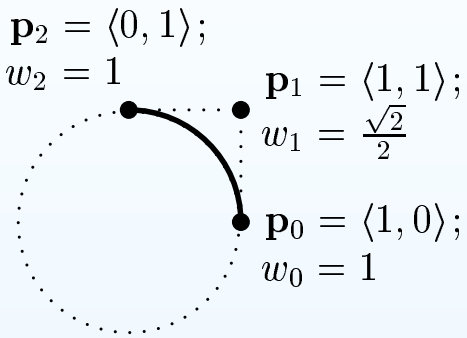

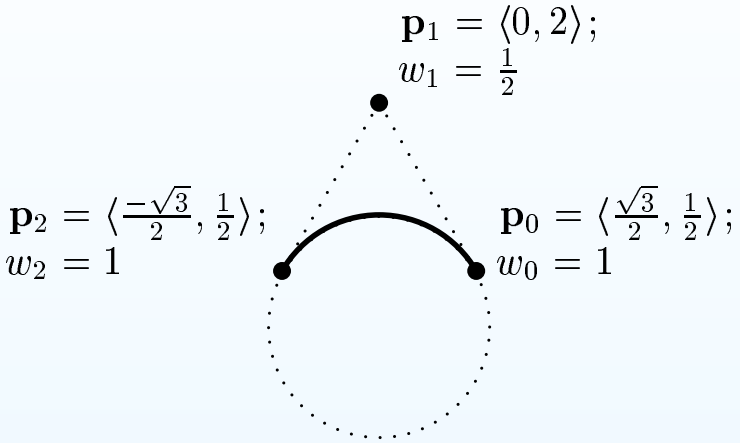

Półokrąg jako krzywa trzeciego stopnia

Krzywe Béziera

Interpolacja Krzywymi Béziera

Płaty Béziera

- Powierzchnie Béziera
- Wymierne krzywe Béziera
- Bryła obrotowa

Okrąg o promieniu 2

$$(p_0, p_1, p_2) \mapsto (p_0^* = Mp_0, p_1^* = Mp_1, p_2^* = Mp_2)$$

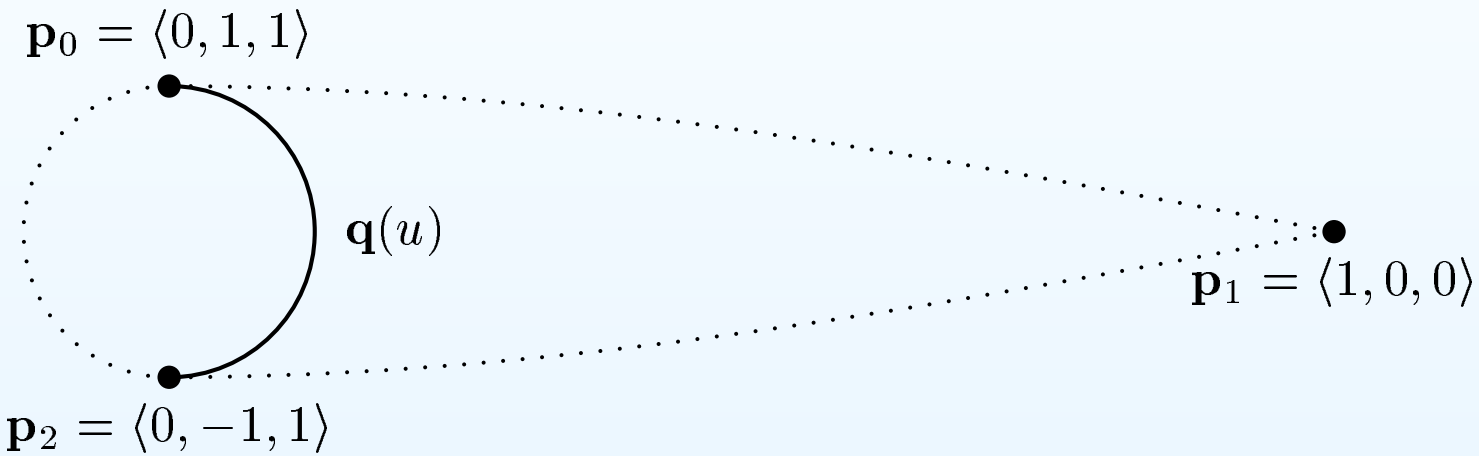

Bryła obrotowa

Krzywe Béziera

Interpolacja Krzywymi Béziera

Płaty Béziera

- Powierzchnie Béziera
- Wymierne krzywe Béziera
- Bryła obrotowa

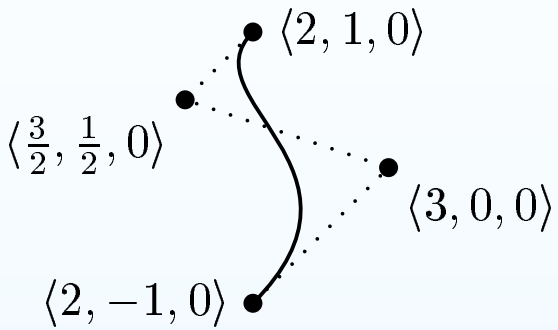

(a)

(b)

$$
\begin{array}{ccc}
(-2:1:0:1) & (0:0:2:0) & (2:1:0:1) \\
(-\frac{3}{2}:\frac{1}{2}:0:1) & (0:0:\frac{3}{2}:0) & (\frac{3}{2}:\frac{1}{2}:0:1) \\
(-3:0:0:1) & (0:0:3:0) & (3:0:0:1) \\
(-2:-1:0:1) & (0:0:2:0) & (2:-1:0:1)
\end{array}
$$